

# GSO 위성으로부터 HAPS 지상국에 미치는 간섭 영향 분석

강영홍\* · 최문환\*

The Analysis on the Interference Effects from GSO Satellites into HAPS Ground station

Young-Heung Kang\* · Mun-Hwan Choi

## 요 약

기존의 고정 위성 서비스(FSS: fixed satellite service)에 할당된 27.5 ~ 28.35GHz 대역 및 31.0 ~ 31.3GHz 대역이 WRC-2000에서 성충권 무선 중계 시스템에 할당됨에 따라 FSS/GSO 시스템과 FS/HAPS 시스템간의 간섭 영향 분석이 필요하다. 이러한 간섭 분석에 있어서는 주파수 운용 조건을 크게 Reverse mode와 Forward mode로 구분하여 간섭 분석 모델을 설정해야 한다. 이에 본 논문에서는 FSS/GSO 시스템과 FS/HAPS 시스템간의 간섭 영향을 Forward mode를 고려하여 다수의 GSO 위성들에 의한 HAPS 지상국에 미치는 간섭 영향으로서 I/N 기준 값, HAPS 커버리지 위도, 위성 간격 등에 따른 간섭 평가를 행하였다. 한편, 이러한 간섭의 영향을 줄이기 위해서는 주파수 운용 조건을 Reverse mode로 고려하거나 적절한 간섭 경감 기법을 도입해야 할 것으로 보인다.

## ABSTRACT

The bands 27.5 ~ 28.35GHz and 31.0 ~ 31.3GHz were allocated to the High Altitude Platform Station in WRC-2000. However, since these bands were already allocated to the existing fixed-satellite service, the analysis on the interference effects between the existing FSS/GSO system and FS/HAPS system should be needed. To do study on the interference effects between above two systems, we can consider two frequency operational conditions, one is the Reverse mode and the other Forward mode. In this paper, we considered the Forward mode as the frequency operational condition and analyzed the interference effect from a number of GSO satellites to HAPS ground station due to the I/N values, the latitude of HAPS and the satellite separation. In future, these results will be vital data to share between HAPS and GSO systems.

## 키워드

성충권 무선 중계 시스템, 정지궤도 위성 시스템, Forward mode, 주파수 공유, 간섭 분석

## I. 서 론

성충권 무선 중계 시스템(HAPS; high altitude platform station)은 고도 20km~50km의 성충권에

\*군산 대학교

접수일자 : 2004. 3. 5

무선 중계기를 탑재한 비행선을 일정 위치에 유지시켜 초고속 무선 멀티미디어 서비스를 지원하는 차세대 초고속 무선 통신 인프라이다.[1]

WRC-97에서는 47.2~47.5 GHz 및 47.9~48.2 GHz 대역에서 HAPS를 이용하여 고정 서비스(FS: fixed service)를 제공하기 위한 조항을 제정하였지만, 이 대역은 강우감쇠의 영향을 받기 쉽기 때문에 ITU-R은 대체 주파수로 18~32GHz 대역을 연구해 왔다. 그 결과 WRC- 2000에서는 일부 국가에서 고정 서비스를 제공하는 HAPS의 운용 주파수로 27.5~28.35GHz 대역과 31.0~31.3 GHz 대역을 허용하였다.[2],[3]

그러나, 이 대역은 기존의 고정 위성 서비스(FSS: fixed satellite service)에 할당된 주파수이므로 기존의 FSS/GSO 시스템과 FS/HAPS 시스템 간의 간섭 영향 분석이 필요한 실정이다. 한편, 위성 시스템과 타 시스템 간의 간섭 분석을 행하는데 있어서는 주파수 운용 조건을 Reverse mode 와 Forward mode로 구분하여 간섭 분석 모델을 설정해야 한다. 이에 관한 연구로서 ITU-R SF. 1601에서는 Reverse mode 운용 조건 하에서 FS/HAPS downlink로부터 FSS/GSO uplink로의 간섭을 평가하기 위한 간섭 분석 모델을 제시하고 있지만[4], Forward mode 운용 조건하의 간섭 분석은 미비한 실정이다.

이에 본 연구에서 Forward mode로 주파수 운용을 할 때 다수의 GSO 위성들에 의한 HAPS 지상국에 미치는 간섭 영향을 분석함으로써 향후 HAPS 지상국 설계에 도움을 주기 위한 자료를 제공하는데 그 목적이 있다.

## II. 간섭 분석 모델

모든 GSO 위성으로부터의 한 HAPS 지상국에 미치는 총 간섭 전력은 각각의 visible 위성으로부터의 간섭을 합하여 구할 수 있다.

$$I = f(\theta) \times g(\delta) \times \frac{\lambda^2}{4\pi l} \quad (1)$$

여기서,

$$f(\theta) = 10^{-\frac{F(\theta)}{10}}$$

$$g(\delta) = 10^{-\frac{G(\delta)}{10}}$$

$\lambda$  : 캐리어의 파장

$I$  : feeder 손실

한편,  $F(\theta)$ 는 GSO 위성으로부터 지구 표면으로의 전파 도래각  $\theta$ 에 따른 전력속밀도로 31 GHz 대역에서 다음과 같이 정의되고 있다.

$$\begin{aligned} F(\theta) = & 115 & dBW / m^2 / MHz \\ & \text{for } 0^\circ \leq \theta \leq 5^\circ \\ & 115 + 0.5(\theta - 5) & dBW / m^2 / MHz \\ & \text{for } 5^\circ \leq \theta \leq 25^\circ \\ & 105 & dBW / m^2 / MHz \\ & \text{for } 25^\circ \leq \theta \leq 90^\circ \end{aligned} \quad (2)$$

또한 HAPS 지상국들이 동일한 안테나 패턴을 가질 때  $G(\delta)$ 는 간섭을 미치는 위성 방향으로의 HAPS 지상국 안테나 이득으로서 ITU-R Rec. F. 1245-1[5]에 다음과 같이 규정되어 있다.

$$\begin{aligned} G(\delta) = & G_{\max} - 2.5 \times 10^{-3} \left( \frac{D}{\lambda} \delta \right)^2 dB \\ & \text{for } 0^\circ < \delta < \delta_m \\ & 39 - 5 \log \frac{D}{\lambda} - 25 \log \delta dB \\ & \text{for } \delta_m \leq \delta < 48^\circ \\ & -3 - 5 \log \frac{D}{\lambda} dB \\ & \text{for } 48^\circ \leq \delta \leq 180^\circ \end{aligned} \quad (3)$$

여기서,

$G_{\max}$  : 안테나의 최대 이득(dBi)

$\delta$  : off-axis 각

$D$  : 안테나 직경

$\lambda$  : 파장

$$\delta_m = \frac{20\lambda}{D} \sqrt{G_{\max} - G_1}$$

$$G_1 = 2 + 15 \log \frac{D}{\lambda}$$

그림 1은 정지궤도와 HAPS 지상국간의 기하학적 표현을 보여준다. 간섭 영향을 계산하기 위해 필요한 중요한 파라미터들은 다음과 같다.

$\theta$  : 수평선상에서 위성의 앙각

$\beta$  :  $S'$ 과 HAPS 지상국,  $p$ 가 이루는 spherical arc

$\Omega$  : 위성  $S$ 로부터 바라보는  $\beta$ 에 의해 이루는 각

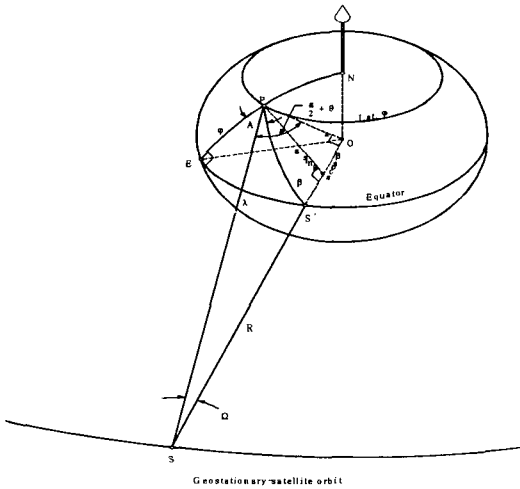


그림 1 GSO 위성과 HAPS 지상국간의 geometry

Fig. 1 Geometry between GSO satellite and HAPS ground station

만일 HAPS 지상국 안테나의 앙각을  $0^\circ$ 로 가정하면 South로부터 정지궤도 수평선상에 교차하는 방위각 편이(azimuth displacement)  $A_z$ 는 다음과 같이 계산된다.

$$|A_z| = \cos^{-1}(\tan \varphi / (K^2 - 1)^{1/2}) \quad (4)$$

여기서,

$$K = R/a$$

$a$  : 지구의 반경

$R$  : 정지궤도 반경

$\varphi$  : HAPS 지상국의 위도

HAPS 지상국과 수평면, 그리고 정지궤도 교차점간의 상대 경도차는 다음과 같이 표현된다.

$$\lambda = \sin^{-1}(\sin A_z (1 - K^{-2})^{1/2}) \quad (5)$$

visible 정지궤도는  $0^\circ$  방위각 라인상의 대칭이므로 HAPS 지상국에서 보이는 모든 위성은  $2\lambda$ 에 해당하는 경도 간격 내에 놓이게 된다. 각 visible 위성에 대한 방위각  $A_z$ 는 다음과 같다.

$$A_z = \tan^{-1}(\tan \lambda_r / \sin \varphi) \quad (6)$$

여기서,  $\lambda_r$ 는 위성과 HAPS 지상국간의 경도차이다. 그림 1의 간섭 계산에 필요한 파라미터 값들은 다음과 같이 계산된다.

$$\theta = \frac{\pi}{2} - (\beta + \Omega) \quad (7)$$

$$\beta = \cos^{-1}(\cos \varphi \cos \lambda_r) \quad (8)$$

$$\Omega = \tan^{-1}(\sin \beta / (K - \cos \beta)) \quad (9)$$

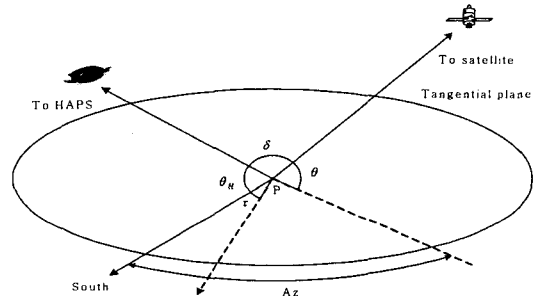


그림 2 위성에 대한 off-beam 각을 결정하기 위한 geometry

Fig. 2 Geometry to determine off-beam angle for satellite

최종적으로 위성 PFD 레벨의 도래각과 지상국 수신기의 앙각간의 이루는 각  $\delta$ 는 그림 2를 근거로 다음과 같이 구할 수 있다.

$$\delta = \cos^{-1}(\sin \theta_H \sin \theta_H + \cos \theta_H \cos \theta_H \cos(A_z - \tau)) \quad (10)$$

### III. 시뮬레이션

HAPS 비행선의 고도를 20km로 구현할 때 지상국의 앙각을  $20^\circ$  이상으로 유지하기 위해서 서비스 반경은 55km로 367개의 다중 셀로 구성이 된다. 본 논문에서는 이러한 367개의 지상국의 분포를 Monte Carlo 시뮬레이션에 의한 일양 분포

(uniform distribution)로 가정한다.

i번쨰 tier의 j번째 서비스 반경 R내의 지상국들의 극 좌표  $(r_{ij}, \theta_{ij})$ 의 pdf는 다음과 같다.

$$P(r_{ij}) = \frac{2r_{ij}}{R^2}, \quad 0 \leq r_{ij} \leq R \quad (11)$$

$$P(\theta_{ij}) = \frac{1}{2\pi}, \quad 0 \leq \theta_{ij} \leq \pi \quad (12)$$

식 (11) 및 식 (12)에 근거하여 지상국 N개의 독립 랜덤 변수  $\mu_{ij}$  및  $\nu_{ij}$ 는  $[0, 1]$ 의 일정한 분포 값을 발생시키고 지상국 극 좌표  $(r_{ij}, \theta_{ij})$ 는 다음과 같다.

$$r_{ij} = R\sqrt{\mu_{ij}} \quad (13)$$

$$\theta_{ij} = 2\pi\nu_{ij} \quad (14)$$

식 (13) 및 식 (14)에 의해서 서비스 커버리지 반경 55km 이내의 367개의 지상국 분포 예를 그림 3에 보인다.

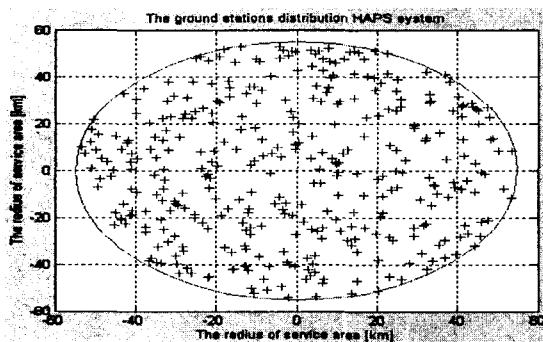


그림 3 지상국의 일양 분포 예

Fig. 3 Example of uniform distribution of ground stations

그림 3의 지상국 분포로부터 각 지상국에 미치는 GSO 위성들의 간섭은 그림 1 및 그림 2를 이용하여 식 (1)에 의해 시뮬레이션 된다. 여기에 필요한 시스템 파라미터 값들은 표 1과 같다.

표 1의 값들을 이용해 HAPS 서비스 tier가 0, 즉

중심 서비스 커버리지 내의 지상국들에 미치는 GSO 위성들의 간섭 분포의 시뮬레이션 예를 그림 4에 나타낸다. 여기서 위성들의 간격은  $3^\circ$ , 서비스 커버리지의 중심은 위도  $40^\circ$ , 경도  $0^\circ$ 로 가정하였다.

표 1 시뮬레이션 파라미터  
Table 1 Simulation parameters

파라미터	값
주파수	31GHz
HAPS 서비스 반경	55km
HAPS 지상국의 수	367
HAPS 서비스 tier 수	10
지상국 안테나 최대 이득	30dBi

그림 4에서 알 수 있듯이 대부분의 간섭 분포는  $-150dB/MHz$  이내에 분포하고 있지만  $-126dB/MHz$ 의 큰 간섭이 발생하는 것을 알 수 있다.

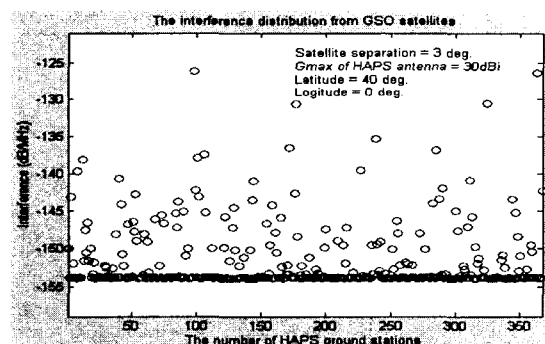


그림 4 GSO 위성들에 의한 HAPS 지상국들의 간섭 분포 예

Fig. 4 Example of interference distribution of HAPS ground stations from GSO satellites

#### IV. 간섭 평가

본 연구에서는 간섭 전력 대 시스템 잡음비인  $I/N$ 비를 다음 식을 이용하여 계산한다.[6]

$$I/N = I - 10 \log (293 \times k \times 10^{NF/10} \times 10^6) \quad (15)$$

여기서,

$$k : \text{불쓰만 상수} = 1.38 \times 10^{-23} (J/K)$$

$$NF : \text{잡음 지수}$$

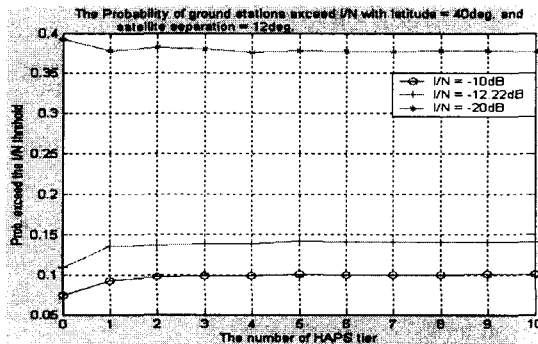


그림 5 I/N 기준 값에 의한 초과 지상국 확률 분포

Fig. 5 Excess probability distribution of ground stations according to I/N values

기준 값을 초과하는 GSO 위성들로부터 HAPS 지상국에 미치는 간섭 분포를 HAPS 서비스 커버리지 tier 수에 따른 시뮬레이션 결과 값을 그림 5에 보인다. 여기서 위성 간격을  $12^\circ$ , HAPS 서비스 중심 커버리지의 위도는  $40^\circ$ , 경도는  $0^\circ$ 로 가정하였다.

그림 5로부터 알 수 있듯이 tier가 2 이상부터 동일한 간섭 분포를 보이며  $I/N = -10dB$  기준을 초과하는 지상국들은 10%에 불과하지만  $I/N = -12.22dB$  기준에서는 14%,  $I/N = -20dB$  기준에서는 7%의 간섭 기준 초과 분포를 보이고 있다. 따라서 이들 결과로부터 향후  $I/N$  기준 설정에 따라 HAPS 지상국들의 이용률을 쉽게 예상할 수 있다.

그림 6은 위성 간격을  $12^\circ$ 로 가정하여 간섭 기준이  $I/N = -10dB$ 로 비교적 낮을 때의 HAPS 중심 서비스 커버리지의 위도에 따른 간섭 초과 확률 분포를 보인다. 그림 6으로부터 위도가 높을수록 간섭 초과 확률이 크게 되며, 위도가  $10^\circ$ ,  $30^\circ$ ,  $50^\circ$  증가함에 따라 그 확률도 7%, 8%, 14%로 증가하고 있다. 따라서 위도가 높은 지역에서는 GSO 위성에 의한 간섭이 크게 되므로 이를 고려한 HAPS 서비스 커버리지 등을 설계해야 할 것이다.

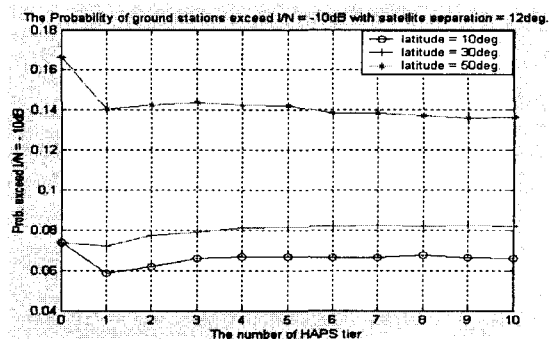


그림 6 HAPS 커버리지의 위도에 따른 간섭 초과 확률

Fig. 6 Excess interference probability according to latitude of HAPS coverage

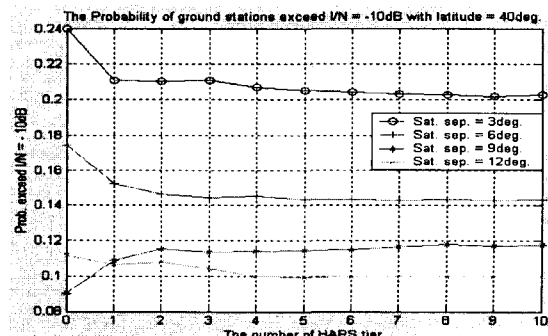


그림 7 위성간격에 따른 간섭 초과 확률

Fig. 7 Excess interference probability according to satellite separation

그림 7은 GSO 위성들 간의 간격이  $3^\circ$ ,  $6^\circ$ ,  $9^\circ$ ,  $12^\circ$ 로 증가시킬 때  $I/N = -10dB$ 의 간섭 기준을 초과하는 지상국들의 분포를 시뮬레이션한 결과이다. 그림 7로부터 위성 간격이 클수록 간섭 초과 확률은 낮아져 위성 간격이  $3^\circ$ ,  $6^\circ$ ,  $9^\circ$ ,  $12^\circ$ 로 증가하면 간섭 초과 확률은 20%, 14%, 12%, 10%로 낮아지고 있음을 알 수 있다. 이 결과로부터 위성들의 배치에 따라서도 HAPS 지상국들은 크게 영향을 받고 있음을 알 수 있다.

## V. 결 론

본 연구에서는 HAPS 시스템과 타 시스템 간의 간섭 분석 연구의 하나로써 GSO 위성들에 의한

HAPS 지상국의 간섭 영향을 분석하였다. 시뮬레이션 결과로부터 I/N 간섭 기준에 따라 HAPS 지상국의 가용율을 쉽게 예상할 수가 있으며, HAPS 셀 커버리지의 위도가 높을수록 간섭의 영향이 크게 되므로 높은 지역에서의 HAPS 서비스 커버리지 설계에 GSO 위성들의 간섭을 고려해야만 할 것이다.

한편, GSO 위성들에 의한 HAPS 지상국에 미치는 간섭 영향을 줄이기 위해서는 주파수 운용을 Reverse mode로 설정하던지, 간섭 경감 기법을 도입하는 것이 바람직하다.

### 참고문헌

- [1] B.S. Kim, J.M. Park, B.J. Ku, Y.H. Kang and D.S. Ahn, Analysis on the interference effects into the radio-relay station from the HAPS system , CIC 2001, Seoul, Korea, Oct. 30 - Nov. 2, 2001
- [2] Masayuki OODO, Ryu MIURA, A study of frequency sharing and contribution to ITU for wireless communication systems using stratospheric platforms , Journal of the Communications Research Laboratory, Vol.48 No.4, 2001
- [3] Doc.4-9S/219-E, Interference from the down-link of the fixed service using high altitude platform stations to the uplink of the fixed-satellite service in the band 27.5GHz ~ 28.35GHz, 28 March, 2002
- [4] Rec. ITU-R F.1245-1, Mathematical model of average and related radiation patterns for link-of-sight point-to-point radio-relay system antennas for use in certain coordination studies and interference assessment in the frequency range from 1GHz to about 70GHz
- [5] Rec. ITU-R F.1107, Probabilistic analysis for calculating interference into the fixed service from satellites occupying the geostationary orbit
- [6] 박종민, 구본준, 안도섭, 김봉석, 강영홍, 주파수 공유를 위한 HAPS 시스템이 무선 중계국에 미치는 간섭 영향 분석 , 한국통신학회 논문지, 제 27권 제 7B호, pp. 719 ~ 725, 2002년 7월

### 저자소개



강영홍(Young-Heung Kang)

1984년 한국항공대학교 통신공학사  
1986년 한국항공대학교 전자공학석사  
1993년 한국항공대학교 전자공학박사

1988년 3월 ~ 1990년 2월 한국항공대학교 통신정보공학과 조교

1995년 8월 ~ 1996년 8월 일본 오사카대학 객원교수

2000년 1월 ~ 현재 한국 ITU-R 위원  
1990년 4월 ~ 현재 군산대학교 전자정보공학부 교수

\*관심분야 : 이동통신, 위성통신, 표준화



최문환(Mun-Hwan Choi)

2002년 군산대학교 정보통신공학사  
2004년 군산대학교 전자정보공학석사  
2004년 3월 ~ 현재 군산대학교 전자정보공학부 박사과정

\*관심분야 : 이동통신, 성충권통신망